

# Espín del electrón: Teoría de Pauli

- Evidencia experimental respecto a la existencia del espín

- Espectros atómicos (estructura fina)

$\vec{e}$  → en el M. de R. del  $e^-$   
+ → hay un campo magnético  
→ Este campo magnético se acopla al momento magnético del  $e^-$  que resulta de su espín.

- Ecuación de Dirac  $\Rightarrow$  espín sale naturalmente. Ecuación relativista para el electrón.

- Interacción con campos magnéticos

$$H = -\vec{\mu}_i \cdot \vec{B}$$

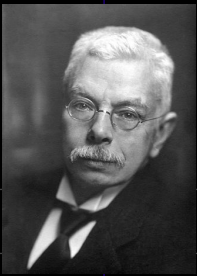
Momento magnético  $\vec{\mu}_i$  campo magnético externo  $\vec{B}$  Magnetón de Bohr  $\mu_B = \frac{e\hbar}{2m_e}$

Momento magnético orbital  $\vec{\mu}_L = \frac{\mu_B}{\hbar} \vec{L}$

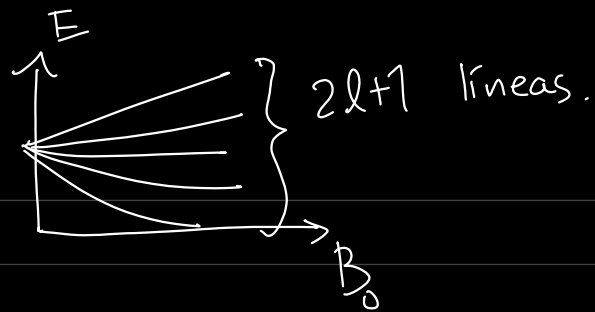
$$\text{Si } \vec{B} = B_0 \hat{e}_z \Rightarrow H = -\frac{\mu_B}{\hbar} B_0 L_z$$

Conocemos ya los e-vectores y e-valores de  $L_z$

$$E_m = -\mu_B B_{0m} \text{ para el e-vector } |\ell, m\rangle$$



Pieter Zeeman



efecto Zeeman

Como  $l$  es entero, deben ser un número impar de líneas pero para algunos elementos se observa un número par.

A esto se llama "efecto Zeeman anómalo".

¿Se acuerdan por qué dijimos que  $l$  debe ser entero?

$$Y_l^m(\theta, \varphi) = Y_l^m(\theta, \varphi + 2\pi)$$

Descripción cuántica de partículas con espín: teoría de Pauli

$|espacial\rangle \otimes |espín\rangle$   
nuevo grado de libertad

i) Existe un observable  $\vec{S}$  de espín el cual cumple las propiedades de un momento angular

$$[S_i, S_j] = i\hbar \epsilon_{ijk} S_k$$

ii) Los operadores de espín actúan en un nuevo espacio  $E_s$ .

-  $\{S^2, S_z\}$  son CCOC en  $E_s$

-  $E_s$  es el espacio generado por los e-vectores de  $S^2$  y  $S_z$ ,  $|s, m_s\rangle$

iii) El estado completo de un electrón es un vector en el espacio

$$\vec{\mathcal{E}} = \vec{\mathcal{E}_r} \otimes \mathcal{E}_s$$

↑ Posición      ↙ Espín

∴ Observables de espín comutan con observables de posición.

iv) El electrón tiene  $s=\frac{1}{2}$  y su momento magnético es

$$\vec{\mu}_s = g_s \frac{\mu_B}{\hbar} \vec{S}$$

razón giromagnética

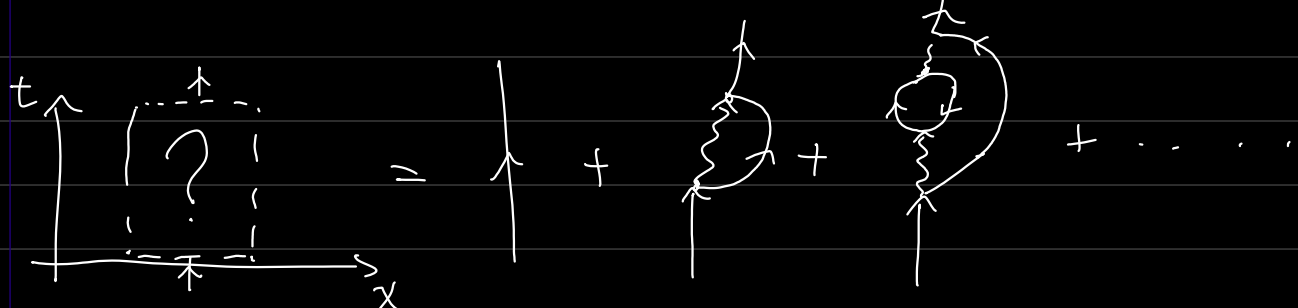
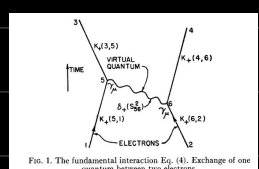
según Dirac  $g_s=2$

Según experimento  $g_s = 2.0023193043617(15)$

La electrodinámica cuántica predice un número parecido.

Diagramas de Feynman

↑ electrones  
↓ positrones  
{} fotones



Protón y neutrón también tienen  $s=\frac{1}{2}$  pero  $g_p$  y  $g_n$  son distintos a  $g_e$

→ El espín no tiene análogo clásico

Descripción de espín

Base  $\{ |S=\frac{1}{2}, m_s=\frac{1}{2}\rangle = |+\rangle, |S=\frac{1}{2}, m_s=-\frac{1}{2}\rangle = |-\rangle \}$

$$S^z |z\rangle = \frac{3\hbar^2}{4} |z\rangle \quad S_z |z\rangle = \frac{\hbar}{2} |z\rangle$$

Estado general de espín

Ket de espín  $\rightarrow$

$$|\chi\rangle = C_+ |+\rangle + C_- |-\rangle$$

(1)

$$S_+ |+\rangle = 0$$

(2)

$$S_- |+\rangle = \hbar |-\rangle$$

(3)

$$S_+ |-\rangle = \hbar |+\rangle$$

(4)

$$S_- |-\rangle = 0$$

$$S_{\pm} |S m_s\rangle = \hbar \sqrt{s(s+1) - m(m \pm 1)} |S m_s \pm 1\rangle$$

$$S_- |\frac{1}{2} \frac{1}{2}\rangle = \hbar \sqrt{\frac{3}{4} + \frac{1}{2}} |\frac{1}{2} -\frac{1}{2}\rangle$$

$$S_+ |\frac{1}{2} -\frac{1}{2}\rangle = \hbar \sqrt{\frac{3}{4} + \frac{1}{2}} |\frac{1}{2} \frac{1}{2}\rangle$$

$$\vec{S} = \frac{\hbar}{2} \left( \underbrace{\sigma_x, \sigma_y, \sigma_z}_{\text{Matrices de Pauli}} \right) \Rightarrow S_i = \frac{\hbar}{2} \sigma_i$$

con la base  $\{ |+\rangle, |-\rangle \}$

$$\sigma_x = \begin{pmatrix} 0 & 1 \\ 1 & 0 \end{pmatrix} \quad \sigma_y = \begin{pmatrix} 0 & -i \\ i & 0 \end{pmatrix} \quad \sigma_z = \begin{pmatrix} 1 & 0 \\ 0 & -1 \end{pmatrix}$$

Usando  $S_{\pm} = S_x \pm i S_y$

$$\begin{aligned} \mathbb{J}_x \mathbb{J}_y &= i \mathbb{J}_z \\ \mathbb{J}_x^2 &= \mathbb{J}_y^2 = \mathbb{J}_z^2 = \mathbb{1} \end{aligned}$$

Base para espacio de matrices de  $2 \times 2$   
 $\{\mathbb{J}_x, \mathbb{J}_y, \mathbb{J}_z, \mathbb{1}_{2 \times 2}\}$

- Ahora juntamos los grados de libertad internos (de posición) e internos (espín).

- En  $\mathcal{E}_r$ , el conjunto  $\{X, Y, Z\}$  es un CCOC

$\rightarrow$  En  $\mathcal{E} = \mathcal{E}_r \otimes \mathcal{E}_s$ ,  $\{X, Y, Z\}$  ya no es un CCOC  
 \* Excepto si  $s=0$ .

¿Cuál es un CCOC en  $\mathcal{E}$ ?

$$1: \{X, Y, Z, S^2, S_z\} \quad |\vec{r}, s, m_s\rangle$$

$$2: \{P_x, P_y, P_z, S^2, S_x\} \quad |\vec{p}, s, m_s^x\rangle$$

$$3: \{H, L^2, L_z, S^2, S_z\} \quad |n, l, m_l, s, m_s^z\rangle$$

Usando 1: kets  $|\vec{r}\rangle \otimes |m_s\rangle = |\vec{r} m_s\rangle$  es e-vector de  $\{\vec{R}, S^2, S_z\}$ .

$$\begin{aligned} \langle \vec{r}' | m_s' | \vec{r} m_s \rangle &= \langle \vec{r}' | \vec{r} \rangle \langle m_s' | m_s \rangle \\ &= \delta(\vec{r}' - \vec{r}) \delta_{m_s' m_s} \end{aligned}$$

$$\sum_{m_s} \int d^3 r |\vec{r} m_s\rangle \langle \vec{r} m_s| = \int d^3 r |\vec{r}+\rangle \langle \vec{r}+| + \int d^3 r |\vec{r}-\rangle \langle \vec{r}-| = \mathbb{1}_{rs}$$

¿Cómo se ve un estado representado en esta base?

$$|\Psi\rangle = \sum_{m_s} \int d^3r |\vec{r} m_s\rangle \langle \vec{r} m_s | \Psi \rangle$$

función de onda  $\langle \vec{r} m_s | \Psi \rangle = \Psi_{m_s}(\vec{r})$

$\Rightarrow$  Hay  $\Psi_+(\vec{r})$  y  $\Psi_-(\vec{r})$

Se le llama espinor, función de onda espinorial

$$[\Psi](\vec{r}) = \begin{pmatrix} \Psi_+(\vec{r}) \\ \Psi_-(\vec{r}) \end{pmatrix}$$

vector de dim 2  
cuyas componentes  
son funciones de  $\vec{r}$

No siempre se puede  $|\Psi\rangle = |\psi\rangle \otimes |\chi\rangle$

$\uparrow$   $\uparrow$   
 espacial espinorial  
 $E_r$   $E_s$

Cuando sí se puede

$$[\Psi](\vec{r}) = \psi(\vec{r}) \begin{pmatrix} C_+ \\ C_- \end{pmatrix}$$

$$|\psi\rangle = \int d^3r \psi(\vec{r}) |\vec{r}\rangle$$

$$|\chi\rangle = C_+ |+\rangle + C_- |-\rangle$$

$$[S_x] = \mathbb{1}_{\vec{r}} \otimes S_x = \frac{\hbar}{2} \begin{pmatrix} 0 & 1 \\ 1 & 0 \end{pmatrix}$$

$$[S_x][\Psi](\vec{r}) = \frac{\hbar}{2} \begin{pmatrix} 0 & 1 \\ 1 & 0 \end{pmatrix} \begin{pmatrix} \Psi_+(\vec{r}) \\ \Psi_-(\vec{r}) \end{pmatrix} = \frac{\hbar}{2} \begin{pmatrix} \Psi_-(\vec{r}) \\ \Psi_+(\vec{r}) \end{pmatrix}$$

$$[\![X]\!] = X \otimes \mathbb{1}_S = \begin{pmatrix} X & 0 \\ 0 & X \end{pmatrix}$$

$$[\![P_x]\!] = P_x \otimes \mathbb{1}_S = \frac{\hbar}{i} \begin{pmatrix} \frac{\partial}{\partial x} & 0 \\ 0 & \frac{\partial}{\partial x} \end{pmatrix}$$

$$[\![L_z S_z]\!] = L_z \otimes S_z = \frac{\hbar}{2} \begin{pmatrix} \frac{i}{\hbar} \frac{\partial}{\partial q} & 0 \\ 0 & -\frac{i}{\hbar} \frac{\partial}{\partial q} \end{pmatrix}$$

Hamiltoniano de un electrón con espín en un campo electromagnético

$$H = \frac{1}{2m} [\vec{p} - q\vec{A}(\vec{r}, t)]^2 + qU(\vec{r}, t) - \vec{\mu}_s \cdot \vec{B}(\vec{r}, t)$$

↑ potencial vectorial E.M.  
↑ potencial escalar eléctrico  
↑ momento magnético  
 $\vec{\mu}_s \propto \vec{S}$